



calculatoratoz.com



unitsconverters.com

Analisi della stabilità dei pendii utilizzando il metodo di Culman Formule

Calcolatrici!

Esempi!

Conversioni!

Segnalibro calculatoratoz.com, unitsconverters.com

La più ampia copertura di calcolatrici e in crescita - **30.000+ calcolatrici!**

Calcola con un'unità diversa per ogni variabile - **Nella conversione di unità costruita!**

La più ampia raccolta di misure e unità - **250+ misurazioni!**

Sentiti libero di CONDIVIDERE questo documento con i tuoi amici!

[Si prega di lasciare il tuo feedback qui...](#)



Lista di 29 Analisi della stabilità dei pendii utilizzando il metodo di Culman Formule

Analisi della stabilità dei pendii utilizzando il metodo di Culman

1) Altezza dalla punta alla parte superiore del cuneo dato l'angolo di attrito mobilizzato

$$fx \quad H = \frac{c_m}{0.5 \cdot \cos ec\left(\frac{i \cdot \pi}{180}\right) \cdot \sec\left(\frac{\varphi_{mob} \cdot \pi}{180}\right) \cdot \sin\left(\frac{(i-\theta) \cdot \pi}{180}\right) \cdot \sin\left(\frac{(\theta_{slope} - \varphi_{mob}) \cdot \pi}{180}\right) \cdot \gamma}$$

[Apri Calcolatrice !\[\]\(a870788d6ed9b8fd294b7654a8c8526b_img.jpg\)](#)

$$ex \quad 7.311302m = \frac{0.30kN/m^2}{0.5 \cdot \cos ec\left(\frac{64 \cdot \pi}{180}\right) \cdot \sec\left(\frac{12.33 \cdot \pi}{180}\right) \cdot \sin\left(\frac{(64 - 25) \cdot \pi}{180}\right) \cdot \sin\left(\frac{(36.89 - 12.33) \cdot \pi}{180}\right) \cdot 18kN/m^3}$$

2) Altezza dalla punta del cuneo alla parte superiore del cuneo

$$fx \quad H = \frac{h}{\frac{\sin\left(\frac{(\theta_i - \theta) \cdot \pi}{180}\right)}{\sin\left(\frac{\theta_i \cdot \pi}{180}\right)}}$$

[Apri Calcolatrice !\[\]\(c50c8b7b2cc2cf9ff925edec0ee94c0d_img.jpg\)](#)

$$ex \quad 9.360035m = \frac{3.01m}{\frac{\sin\left(\frac{(36.85 - 25) \cdot \pi}{180}\right)}{\sin\left(\frac{36.85 \cdot \pi}{180}\right)}}$$

3) Altezza dalla punta del cuneo alla parte superiore del cuneo dato il peso del cuneo

$$fx \quad H = \frac{W_{we}}{\gamma \cdot L \cdot \left(\frac{\sin\left(\frac{(\theta_i - \theta) \cdot \pi}{180}\right)}{2 \cdot \sin\left(\frac{\theta_i \cdot \pi}{180}\right)}\right)}$$

[Apri Calcolatrice !\[\]\(f60b7a900783ac3fd531bfd9c111be6d_img.jpg\)](#)


$$ex \quad 9.542467m = \frac{138.09kN}{18kN/m^3 \cdot 5m \cdot \left(\frac{\sin\left(\frac{(36.85 - 25) \cdot \pi}{180}\right)}{2 \cdot \sin\left(\frac{36.85 \cdot \pi}{180}\right)}\right)}$$



4) Altezza dalla punta del cuneo alla sommità del cuneo dato il fattore di sicurezza Apri Calcolatrice 


$$fx \quad H = \left(\frac{C_{eff}}{\left(\frac{1}{2}\right) \cdot \left(F_s - \left(\frac{\tan\left(\frac{\varphi \cdot \pi}{180}\right)}{\tan\left(\frac{\theta_{cr} \cdot \pi}{180}\right)}\right)\right) \cdot \gamma \cdot \left(\frac{\sin\left(\frac{(i-\theta_{cr}) \cdot \pi}{180}\right)}{\sin\left(\frac{i \cdot \pi}{180}\right)}\right) \cdot \sin\left(\frac{\theta_{cr} \cdot \pi}{180}\right)} \right)$$

$$ex \quad 6.284854m = \left(\frac{0.32kPa}{\left(\frac{1}{2}\right) \cdot \left(2.8 - \left(\frac{\tan\left(\frac{46 \cdot \pi}{180}\right)}{\tan\left(\frac{52.1 \cdot \pi}{180}\right)}\right)\right) \cdot 18kN/m^3 \cdot \left(\frac{\sin\left(\frac{(64-52.1) \cdot \pi}{180}\right)}{\sin\left(\frac{64 \cdot \pi}{180}\right)}\right) \cdot \sin\left(\frac{52.1 \cdot \pi}{180}\right)} \right)$$

5) Altezza del cuneo del suolo dato il peso del cuneo Apri Calcolatrice 

$$fx \quad h = \frac{W_{we}}{\frac{L \cdot \gamma}{2}}$$

$$ex \quad 3.068667m = \frac{138.09kN}{\frac{5m \cdot 18kN/m^3}{2}}$$

6) Altezza del cuneo del suolo dato l'angolo di inclinazione e l'angolo di inclinazione Apri Calcolatrice 

$$fx \quad h = \frac{H \cdot \sin\left(\frac{(\theta_i - \theta) \cdot \pi}{180}\right)}{\sin\left(\frac{\theta_i \cdot \pi}{180}\right)}$$

$$ex \quad 3.2158m = \frac{10m \cdot \sin\left(\frac{(36.85 - 25) \cdot \pi}{180}\right)}{\sin\left(\frac{36.85 \cdot \pi}{180}\right)}$$

7) Altezza sicura dalla punta alla sommità del cuneo Apri Calcolatrice 

$$fx \quad H = \frac{4 \cdot c_m \cdot \sin\left(\frac{i \cdot \pi}{180}\right) \cdot \cos\left(\frac{\varphi_{mob} \cdot \pi}{180}\right)}{\gamma \cdot \left(1 - \cos\left(\frac{(i - \varphi_{mob}) \cdot \pi}{180}\right)\right)}$$

$$ex \quad 10.49217m = \frac{4 \cdot 0.30kN/m^2 \cdot \sin\left(\frac{64 \cdot \pi}{180}\right) \cdot \cos\left(\frac{12.33 \cdot \pi}{180}\right)}{18kN/m^3 \cdot \left(1 - \cos\left(\frac{(64 - 12.33) \cdot \pi}{180}\right)\right)}$$



8) Angolo di attrito interno data la sollecitazione normale effettiva Apri Calcolatrice 

$$fx \quad \Phi_i = a \tan \left(\frac{F_s \cdot \zeta_{soil}}{\sigma_{effn}} \right)$$

$$ex \quad 76.87856^\circ = a \tan \left(\frac{2.8 \cdot 250.09 \text{MPa}}{163.23 \text{MPa}} \right)$$

9) Angolo di attrito interno dato l'angolo di inclinazione e l'angolo di inclinazione Apri Calcolatrice 

$$fx \quad \Phi_i = a \tan \left(\left(F_s - \frac{C_s}{\left(\frac{1}{2} \right) \cdot \gamma \cdot H \cdot \left(\frac{\sin \left(\frac{(\theta_i - \theta_{slope}) \cdot \pi}{180} \right)}{\sin \left(\frac{\theta_i \cdot \pi}{180} \right)} \right) \cdot \sin \left(\frac{\theta_{slope} \cdot \pi}{180} \right)} \right) \cdot \tan \left(\frac{\theta_{slope} \cdot \pi}{180} \right) \right)$$

$$ex \quad 88.88139^\circ = a \tan \left(\left(2.8 - \frac{5.0 \text{kPa}}{\left(\frac{1}{2} \right) \cdot 18 \text{kN/m}^3 \cdot 10 \text{m} \cdot \left(\frac{\sin \left(\frac{(36.85^\circ - 36.89^\circ) \cdot \pi}{180} \right)}{\sin \left(\frac{36.85^\circ \cdot \pi}{180} \right)} \right) \cdot \sin \left(\frac{36.89^\circ \cdot \pi}{180} \right)} \right) \cdot \tan \left(\frac{36.89^\circ \cdot \pi}{180} \right) \right)$$

10) Angolo di attrito mobilitato dato l'angolo di pendenza critica Apri Calcolatrice 

$$fx \quad \varphi_m = (2 \cdot \theta_{cr}) - i$$


$$ex \quad 40.2^\circ = (2 \cdot 52.1^\circ) - 64^\circ$$

11) Angolo di inclinazione critico dato l'angolo di inclinazione Apri Calcolatrice 

$$fx \quad \theta_{cr} = \frac{i + \varphi_m}{2}$$


$$ex \quad 52^\circ = \frac{64^\circ + 40^\circ}{2}$$



12) Angolo di inclinazione data la resistenza al taglio lungo il piano di scorrimento Apri Calcolatrice 


$$\text{fx } \theta_{\text{slope}} = a \cos \left(\frac{\zeta_{\text{soil}} - (C_s \cdot L)}{W_{\text{wedge}} \cdot \tan \left(\frac{\phi \cdot \pi}{180} \right)} \right)$$

$$\text{ex } 90^\circ = a \cos \left(\frac{0.025 \text{MPa} - (5.0 \text{kPa} \cdot 5 \text{m})}{267 \text{N} \cdot \tan \left(\frac{46^\circ \cdot \pi}{180} \right)} \right)$$

13) Angolo di inclinazione dato l'angolo di pendenza critica Apri Calcolatrice 


$$\text{fx } i = (2 \cdot \theta_{\text{cr}}) - \phi_m$$

$$\text{ex } 64.2^\circ = (2 \cdot 52.1^\circ) - 40^\circ$$

14) Angolo di inclinazione dato lo sforzo di taglio lungo il piano di scorrimento Apri Calcolatrice 


$$\text{fx } \theta_{\text{slope}} = a \sin \left(\frac{\tau_s}{W_{\text{wedge}}} \right)$$

$$\text{ex } 36.81627^\circ = a \sin \left(\frac{160 \text{N/m}^2}{267 \text{N}} \right)$$

15) Coesione del suolo dato l'angolo di inclinazione e l'angolo di inclinazione Apri Calcolatrice 

$$\text{fx } C_{\text{eff}} = \left(F_s - \left(\frac{\tan \left(\frac{\phi \cdot \pi}{180} \right)}{\tan \left(\frac{\theta \cdot \pi}{180} \right)} \right) \right) \cdot \left(\left(\frac{1}{2} \right) \cdot \gamma \cdot H \cdot \left(\frac{\sin \left(\frac{(i-\theta) \cdot \pi}{180} \right)}{\sin \left(\frac{i \cdot \pi}{180} \right)} \right) \cdot \sin \left(\frac{\theta \cdot \pi}{180} \right) \right)$$

$$\text{ex } 0.400929 \text{kPa} = \left(2.8 - \left(\frac{\tan \left(\frac{46^\circ \cdot \pi}{180} \right)}{\tan \left(\frac{25^\circ \cdot \pi}{180} \right)} \right) \right) \cdot \left(\left(\frac{1}{2} \right) \cdot 18 \text{kN/m}^3 \cdot 10 \text{m} \cdot \left(\frac{\sin \left(\frac{(64^\circ - 25^\circ) \cdot \pi}{180} \right)}{\sin \left(\frac{64^\circ \cdot \pi}{180} \right)} \right) \cdot \sin \left(\frac{25^\circ \cdot \pi}{180} \right) \right)$$

16) Coesione mobilitata data forza di coesione lungo il piano di scorrimento Apri Calcolatrice 

$$\text{fx } c_m = \frac{F_c}{L}$$

$$\text{ex } 0.3 \text{kN/m}^2 = \frac{1.5 \text{kN}}{5 \text{m}}$$



17) Coesione mobilitata data l'altezza sicura dalla punta alla sommità del cuneo Apri Calcolatrice 


$$f_x \quad c_{mob} = \frac{H}{4 \cdot \sin\left(\frac{\theta_i \cdot \pi}{180}\right) \cdot \cos\left(\frac{\varphi_{mob} \cdot \pi}{180}\right)} / \left(\gamma_w \cdot \left(1 - \cos\left(\frac{(\theta_i - \varphi_{mob}) \cdot \pi}{180}\right) \right) \right)$$

$$ex \quad 0.813903kPa = \frac{10m}{4 \cdot \sin\left(\frac{36.85 \cdot \pi}{180}\right) \cdot \cos\left(\frac{12.33 \cdot \pi}{180}\right)} / \left(9810N/m^3 \cdot \left(1 - \cos\left(\frac{(36.85^\circ - 12.33^\circ) \cdot \pi}{180}\right) \right) \right)$$

18) Coesione mobilitata dato l'angolo di attrito mobilitato Apri Calcolatrice 


$$f_x \quad c_m = \left(0.5 \cdot \cos ec\left(\frac{i \cdot \pi}{180}\right) \cdot \sec\left(\frac{\varphi_{mob} \cdot \pi}{180}\right) \cdot \sin\left(\frac{(i - \theta_{slope}) \cdot \pi}{180}\right) \cdot \sin\left(\frac{(\theta_{slope} - \varphi_{mob}) \cdot \pi}{180}\right) \right)$$

$$ex \quad 0.285231kN/m^2 = \left(0.5 \cdot \cos ec\left(\frac{64 \cdot \pi}{180}\right) \cdot \sec\left(\frac{12.33 \cdot \pi}{180}\right) \cdot \sin\left(\frac{(64 - 36.89) \cdot \pi}{180}\right) \cdot \sin\left(\frac{(36.89 - 12.33) \cdot \pi}{180}\right) \right)$$

19) Fattore di sicurezza data la lunghezza del piano di scorrimento Apri Calcolatrice 

$$f_x \quad F_s = \left(\frac{c \cdot L}{W_{wedge} \cdot \sin\left(\frac{\theta_{cr} \cdot \pi}{180}\right)} \right) + \left(\frac{\tan\left(\frac{\varphi \cdot \pi}{180}\right)}{\tan\left(\frac{\theta_{cr} \cdot \pi}{180}\right)} \right)$$

$$ex \quad 3.301915 = \left(\frac{2.05Pa \cdot 5m}{267N \cdot \sin\left(\frac{52.1 \cdot \pi}{180}\right)} \right) + \left(\frac{\tan\left(\frac{46 \cdot \pi}{180}\right)}{\tan\left(\frac{52.1 \cdot \pi}{180}\right)} \right)$$

20) Fattore di sicurezza dato l'angolo di attrito mobilitato Apri Calcolatrice 

$$f_x \quad F_s = \frac{\tan\left(\frac{\Phi_i \cdot \pi}{180}\right)}{\tan\left(\frac{\varphi_m \cdot \pi}{180}\right)}$$


$$ex \quad 2.072088 = \frac{\tan\left(\frac{82.87 \cdot \pi}{180}\right)}{\tan\left(\frac{40 \cdot \pi}{180}\right)}$$

21) Forza di coesione lungo il piano di scorrimento Apri Calcolatrice 

$$f_x \quad F_c = c_m \cdot L$$

$$ex \quad 1.5kN = 0.30kN/m^2 \cdot 5m$$




22) Lunghezza del piano di scorrimento data la forza di coesione lungo il piano di scorrimento 

$$fx \quad L = \frac{F_c}{C_{mob}}$$

[Apri Calcolatrice !\[\]\(9dfdaff1d86ba3c1f8353b4d1b61b8c5_img.jpg\)](#)


$$ex \quad 5m = \frac{1.5kN}{0.3kPa}$$

23) Lunghezza del piano di scorrimento data la resistenza al taglio lungo il piano di scorrimento 

$$fx \quad L = \frac{T_f - \left(W \cdot \cos\left(\frac{\theta_{slope} \cdot \pi}{180}\right) \cdot \tan\left(\frac{\phi \cdot \pi}{180}\right) \right)}{c}$$

[Apri Calcolatrice !\[\]\(2b376d1a92330ab09dad2665d2f89bf5_img.jpg\)](#)


$$ex \quad 9.687676m = \frac{20Pa - \left(10.01kg \cdot \cos\left(\frac{36.89^\circ \cdot \pi}{180}\right) \cdot \tan\left(\frac{46^\circ \cdot \pi}{180}\right) \right)}{2.05Pa}$$

24) Lunghezza del piano di scorrimento dato il peso del cuneo del suolo 

$$fx \quad L = \frac{W_{we}}{\frac{h \cdot \gamma}{2}}$$

[Apri Calcolatrice !\[\]\(c444627dab9fee9a1550c053ffaaaae2_img.jpg\)](#)


$$ex \quad 5.097453m = \frac{138.09kN}{\frac{3.01m \cdot 18kN/m^3}{2}}$$

25) Peso del cuneo di suolo 

$$fx \quad W_{we} = \frac{L \cdot h \cdot \gamma}{2}$$

[Apri Calcolatrice !\[\]\(06a315363e7801bba8c7489a6694af19_img.jpg\)](#)

$$ex \quad 135.45kN = \frac{5m \cdot 3.01m \cdot 18kN/m^3}{2}$$


26) Peso unitario del suolo data l'altezza di sicurezza dalla punta alla sommità del cuneo 

$$fx \quad \gamma = \frac{4 \cdot c_m \cdot \sin\left(\frac{i \cdot \pi}{180}\right) \cdot \cos\left(\frac{\phi_{mob} \cdot \pi}{180}\right)}{H \cdot \left(1 - \cos\left(\frac{(i - \phi_{mob}) \cdot \pi}{180}\right) \right)}$$

[Apri Calcolatrice !\[\]\(465772ce2fc0e39b7001e2580b915cc2_img.jpg\)](#)

$$ex \quad 18.88591kN/m^3 = \frac{4 \cdot 0.30kN/m^2 \cdot \sin\left(\frac{64^\circ \cdot \pi}{180}\right) \cdot \cos\left(\frac{12.33^\circ \cdot \pi}{180}\right)}{10m \cdot \left(1 - \cos\left(\frac{(64^\circ - 12.33^\circ) \cdot \pi}{180}\right) \right)}$$



27) Peso unitario del suolo dato il peso del cuneo Apri Calcolatrice 


$$fx \quad \gamma = \frac{W_{we}}{\frac{L \cdot h}{2}}$$

$$ex \quad 18.35083 \text{ kN/m}^3 = \frac{138.09 \text{ kN}}{\frac{5 \text{ m} \cdot 3.01 \text{ m}}{2}}$$

28) Peso unitario del terreno dato l'angolo di attrito mobilitato Apri Calcolatrice 

$$fx \quad \gamma = \frac{C_m}{0.5 \cdot \cos ec\left(\frac{i \cdot \pi}{180}\right) \cdot \sec\left(\frac{\varphi_{mob} \cdot \pi}{180}\right) \cdot \sin\left(\frac{(i - \theta_{slope}) \cdot \pi}{180}\right) \cdot \sin\left(\frac{(\theta_{slope} - \varphi_{mob}) \cdot \pi}{180}\right) \cdot H}$$

$$ex \quad 18.93202 \text{ kN/m}^3 = \frac{0.30 \text{ kN/m}^2}{0.5 \cdot \cos ec\left(\frac{64^\circ \cdot \pi}{180}\right) \cdot \sec\left(\frac{12.33^\circ \cdot \pi}{180}\right) \cdot \sin\left(\frac{(64^\circ - 36.89^\circ) \cdot \pi}{180}\right) \cdot \sin\left(\frac{(36.89^\circ - 12.33^\circ) \cdot \pi}{180}\right) \cdot 10 \text{ m}}$$

29) Resistenza al taglio lungo il piano di scorrimento Apri Calcolatrice 

$$fx \quad \zeta_{soil} = (C_s \cdot L) + \left(W \cdot \cos\left(\frac{\theta \cdot \pi}{180}\right) \cdot \tan\left(\frac{\varphi \cdot \pi}{180}\right) \right)$$

$$ex \quad 0.025 \text{ MPa} = (5.0 \text{ kPa} \cdot 5 \text{ m}) + \left(10.01 \text{ kg} \cdot \cos\left(\frac{25^\circ \cdot \pi}{180}\right) \cdot \tan\left(\frac{46^\circ \cdot \pi}{180}\right) \right)$$










Variabili utilizzate

- **c** Coesione nel suolo (*Pascal*)
- **C_{eff}** Coesione efficace nella geotecnologia come Kilopascal (*Kilopascal*)
- **C_m** Coesione mobilitata nella meccanica del suolo (*Kilonewton per metro quadrato*)
- **C_{mob}** Coesione mobilitata in Kilopascal (*Kilopascal*)
- **C_s** Coesione del suolo (*Kilopascal*)
- **F_c** Forza di coesione in KN (*Kilonewton*)
- **F_s** Fattore di sicurezza nella meccanica del suolo
- **h** Altezza del cuneo (*metro*)
- **H** Altezza dalla punta della zeppa alla parte superiore della zeppa (*metro*)
- **i** Angolo di inclinazione rispetto all'orizzontale nel terreno (*Grado*)
- **L** Lunghezza del piano di scorrimento (*metro*)
- **T_f** Resistenza al taglio del suolo (*Pascal*)
- **W** Peso del cuneo (*Chilogrammo*)
- **W_{we}** Peso del cuneo in kilonewton (*Kilonewton*)
- **W_{wedge}** Peso del cuneo in Newton (*Newton*)
- **γ** Peso unitario del suolo (*Kilonewton per metro cubo*)
- **γ_w** Peso unitario dell'acqua nella meccanica del suolo (*Newton per metro cubo*)
- **ζ_{soil}** Resistenza al taglio (*Megapascal*)
- **ζ_{soil}** Sollecitazione di taglio del suolo in Megapascal (*Megapascal*)
- **θ** Angolo di inclinazione (*Grado*)
- **θ_{cr}** Angolo di pendenza critico nella meccanica del suolo (*Grado*)
- **θ_i** Angolo di inclinazione nella meccanica del suolo (*Grado*)
- **θ_{slope}** Angolo di pendenza nella meccanica del suolo (*Grado*)
- **σ_{effn}** Sollecitazione normale effettiva del suolo in Megapascal (*Megapascal*)
- **T_s** Sollecitazione di taglio media sul piano di taglio nel terreno Mech (*Newton / metro quadro*)
- **φ** Angolo di attrito interno (*Grado*)
- **Φ_i** Angolo di attrito interno del suolo (*Grado*)
- **Φ_m** Angolo di attrito mobilitato (*Grado*)
- **Φ_{mob}** Angolo di attrito mobilitato nella meccanica del suolo (*Grado*)



Costanti, Funzioni, Misure utilizzate

- **Costante:** **pi**, 3.14159265358979323846264338327950288
Costante di Archimede
- **Funzione:** **acos**, acos(Number)
La funzione coseno inversa è la funzione inversa della funzione coseno. È la funzione che prende un rapporto come input e restituisce l'angolo il cui coseno è uguale a quel rapporto.
- **Funzione:** **asin**, asin(Number)
La funzione seno inverso è una funzione trigonometrica che prende il rapporto tra due lati di un triangolo rettangolo e restituisce l'angolo opposto al lato con il rapporto dato.
- **Funzione:** **atan**, atan(Number)
L'abbronzatura inversa viene utilizzata per calcolare l'angolo applicando il rapporto tangente dell'angolo, che è il lato opposto diviso per il lato adiacente del triangolo rettangolo.
- **Funzione:** **cos**, cos(Angle)
Il coseno di un angolo è il rapporto tra il lato adiacente all'angolo e l'ipotenusa del triangolo.
- **Funzione:** **cosec**, cosec(Angle)
La funzione cosecante è una funzione trigonometrica che è il reciproco della funzione seno.
- **Funzione:** **sec**, sec(Angle)
La secante è una funzione trigonometrica definita dal rapporto tra l'ipotenusa e il lato più corto adiacente ad un angolo acuto (in un triangolo rettangolo); il reciproco di un coseno.
- **Funzione:** **sin**, sin(Angle)
Il seno è una funzione trigonometrica che descrive il rapporto tra la lunghezza del lato opposto di un triangolo rettangolo e la lunghezza dell'ipotenusa.
- **Funzione:** **tan**, tan(Angle)
La tangente di un angolo è il rapporto trigonometrico tra la lunghezza del lato opposto all'angolo e la lunghezza del lato adiacente all'angolo in un triangolo rettangolo.
- **Misurazione:** **Lunghezza** in metro (m)
Lunghezza Conversione unità 
- **Misurazione:** **Peso** in Chilogrammo (kg)
Peso Conversione unità 
- **Misurazione:** **Pressione** in Kilonewton per metro quadrato (kN/m²), Kilopascal (kPa), Megapascal (MPa), Newton / metro quadro (N/m²), Pascal (Pa)
Pressione Conversione unità 
- **Misurazione:** **Forza** in Kilonewton (kN), Newton (N)
Forza Conversione unità 
- **Misurazione:** **Angolo** in Grado (°)
Angolo Conversione unità 
- **Misurazione:** **Peso specifico** in Kilonewton per metro cubo (kN/m³), Newton per metro cubo (N/m³)
Peso specifico Conversione unità 
- **Misurazione:** **Fatica** in Megapascal (MPa), Kilopascal (kPa)
Fatica Conversione unità 



Controlla altri elenchi di formule

- Capacità portante per fondazione a strisce per terreni C- Φ Formule 
- Capacità portante del terreno coesivo Formule 
- Capacità portante del terreno non coesivo Formule 
- Capacità portante dei terreni Formule 
- Capacità portante dei terreni: analisi di Meyerhof Formule 
- Analisi di stabilità della fondazione Formule 
- Limiti di Atterberg Formule 
- Capacità portante del suolo: l'analisi di Terzaghi Formule 
- Compattazione del suolo Formule 
- Movimento terra Formule 
- Pressione laterale per terreni coesivi e non coesivi Formule 
- Profondità minima di fondazione secondo l'analisi di Rankine Formule 
- Fondazioni su pali Formule 
- Produzione raschietto Formule 
- Analisi delle infiltrazioni Formule 
- Analisi della stabilità dei pendii utilizzando il metodo Bishops Formule 
- Analisi della stabilità dei pendii utilizzando il metodo di Culman Formule 
- Origine del suolo e sue proprietà Formule 
- Peso specifico del suolo Formule 
- Analisi di stabilità di pendenze infinite nel prisma Formule 
- Controllo delle vibrazioni nella sabbiatura Formule 
- Rapporto dei vuoti del campione di terreno Formule 
- Contenuto d'acqua del suolo e formule correlate Formule 

Sentiti libero di CONDIVIDERE questo documento con i tuoi amici!

PDF Disponibile in

[English](#) [Spanish](#) [French](#) [German](#) [Russian](#) [Italian](#) [Portuguese](#) [Polish](#) [Dutch](#)

7/8/2024 | 7:54:36 AM UTC

[Si prega di lasciare il tuo feedback qui...](#)

